

# V-69 RCスラブの押抜せん断耐力に関する一考察

京都大学 正員 小柳 治  
宇部興産 正員 米田俊一

## 1. まえがき

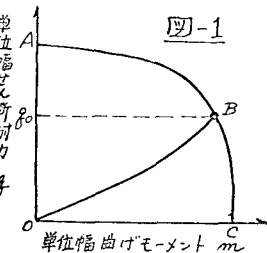
フラットスラブや集中荷重をうける鉄筋コンクリートスラブの押抜せん断耐力を推定する方法としては、Moe<sup>1)</sup>, Hognestad<sup>2)</sup>, Yishaki<sup>3)</sup>, Mawer<sup>4)</sup> 等の提案式があるが、主として実験式であり実験点も多い。本文は、スラブの破壊機構、コンクリートの破壊条件を考慮して、これらと断面諸定数、載荷条件、支持条件とを組合せて、スラブ限界断面での押抜せん断耐力を推定する方法について考察を試み、実際にスラブの載荷実験を行なった結果と対比検討したものである。

## 2. スラブの押抜せん断破壊と耐力算定

スラブに集中荷重がかかるとき、荷重の増大につれて曲げひびわれおよび斜ひびわれが発達してゆき、降伏線理論などにより推定される曲げ耐力にいたったとき機構となり崩壊する(曲げ破壊)か、それ以下の荷重で限界断面の押抜せん断により急激に破壊にいたる。すなわち押抜せん断破壊は、ひびわれの発達により中立軸が上昇し、有効断面である圧縮域の減少に伴なり、上載荷重を支えられず落ちこみを生ずる現象である。押抜せん断を支配する限界断面は、一般に集中荷重載荷域の周辺である。一方コンクリートは本質的にはせん断破壊を生ずるわけではなく、断面および載荷の条件が定まれば、せん断耐力が巨視的現象的なものであるから、その推定には見掛けのせん断力で扱う方が便利であり、また意味は失なわれない。

限界断面でのせん断耐力  $T_u$  は、コンクリートおよび鉄筋で受けたれり(各々これを  $T_c$ ,  $T_s$  とする)ため、 $T_c$  および  $T_s$  を推定すれば  $T_u$  の推定が可能である( $T_u = T_c + T_s$ )。 $T_s$  はいわゆる dowel action であるが、 $T_u$  に占める  $T_s$  の割合は小さく二次的と考えられる。 $T_u$  を正確に推定することは困難であるが、上記の機構をもとに考えれば、これは非ひびわれ区間のもつ耐力である。ここで、限界断面におけるひびわれが曲げモーメントに依存すると仮定すれば、この区間の応力分布形とそれに応じるせん断耐力との間に関係があれば  $T_u$  の推定は可能である。限界断面での押抜せん断せん断耐力と関係づけることはコンクリートの破壊機構からは意味をもたないが、その状況は見掛けのせん断強度をもつていわゆる二面せん断試験の状況と非常に類似している。このため  $T_u$  を求めよにあたり、曲げに伴う応力と、各応力に対応する二面せん断試験から求められたせん断耐力とを結びつけば、せん断耐力の上限値ではあるが  $T_u$  におけるかなり精度より推定が可能であると考えられる。このようにして、限界断面における単位幅あたりの曲げモーメント ( $m$ ) とせん断耐力 ( $\gamma$ ) との相関曲線が求められる。

一方スラブの支持条件および載荷条件が定まれば、限界断面に働く曲げモーメントとせん断力との関係をもとに、この  $m-\gamma$  相関曲線図上に荷重経路曲線を描くことができる。荷重経路すなわち  $m-\gamma$  関係は、初期には弾性解析から得られるが、ひびわれが発生以後は応力再分配に伴い変化してゆく。ここで押抜せん断耐力  $T_u$  は、 $m-\gamma$  相関曲線と荷重経路曲線との交点から推定できる(これを後に M-Q 法と名付ける)。 $m-\gamma$  図の概形を図-1 に示す。



### 3. スラブの載荷実験および解析

前記の考察をもとにしたスラブのせん断耐力推定方法の適用性の可否を検討するため、鉄筋比、載荷面積、載荷方法を各2種ずつ選び、スラブをもつ軽量コンクリート(造粒型L使用)スラブの載荷実験を行なった。供試体は寸法  $90 \times 90 \times 8 \text{ cm}$ ,  $\rho_{\text{cu}} = 320 \text{ kg/cm}^2$ ,  $\rho_{\text{cu}} = 23 \text{ kg/cm}^2$ ,  $\rho_{\text{y}} = 35 \text{ kg/mm}^2$  であり、二方向直交配筋の有効高さ  $6.5$  および  $5.5 \text{ cm}$ 、スラブはスパン  $80 \text{ cm}$  の四辺単純支持で、中央スラブに中心載荷および偏心載荷を行なった。

供試体種別および終局耐力を Johansen による曲げ耐力の算定値とともに表-1に示す。

せん断耐力は、基本的には2.で述べたM-Q法によることで推定できるものと考えられるが、M-Q法を適用するにあたりなお近似または仮定が必要である。本実験結果の解析では、限界断面の曲げに伴う応力分布(圧縮、引張ともに放物線の一部と直線)、スラブ周辺のせん断力分布(中心圧縮では等分布)、垂直応力とせん断耐力との関係(実験値を基準)、限界断面の有効高さ、 $T_s$ 、m- $\delta$ 荷重経路(弾性関係からひずみが発生以後の応力再分配に伴う経路変化の過程)、などにつれては適当な近似、仮定を設けた。用いた諸仮定、近似的詳細とそれらの変化によるM-Q相関曲線と $T_s$ に及ぼす影響は講演時に述べる。終局耐力に関する各種提案式と実測値との関係を図-3に示す。

M-Q法によりかなり精度のよい推定が可能である。

### 4. まとめ

スラブの押抜せん断耐力を、断面諸数と載荷条件から精度よく推定することができるれば非常に好都合である。M-Q法はせん断耐力に影響する諸要素(載荷面積、鉄筋比、支持条件等)の諸要因の効果を定性的にはすべて説明することができ、定量的な推定上の仮定と近似につれては問題点を残すが、RCスラブの押抜せん断耐力推定の有力な方法として、今後検討されべきであると考える。

### 参考文献

- 1) J. Moe; Development Dept. Bull., D47, PCA, Apr. 1961
- 2) E. Hognestad, R.C. Elstner, J.A. Hanson; Jour. ACI, June 1961
- 3) D. Yitzaki; Jour. ACI, May 1966
- 4) R.D. Mowrer, M.D. Vanderbilt; Jour. ACI, Nov. 1967.
- 5) 青岡保彦、平井正樹、仁枝保; セメント技術年報、23巻、昭和44年

表-1 供試体種別および終局耐力

| 供試体記号 | 載荷面積<br>( $a \times b, \text{cm}$ ) | 鉄筋比(%)<br>$\rho = As/bh$ | 終局耐力 (ton) |          |
|-------|-------------------------------------|--------------------------|------------|----------|
|       |                                     |                          | 実測値        | Johansen |
| SAI   | 1 6×6                               | 0.69                     | 7.20       | 9.52     |
|       | 2 中心載荷                              | 1.09                     | 8.46       | 9.60     |
| SII   | 1 12×12                             | 0.69                     | 8.80       | 10.37    |
|       | 2 中心載荷                              | 1.09                     | 17.50      | 15.63    |
| SBI   | 1 12×12                             | 0.69                     | 7.97       | 10.36    |
|       | 2 偏心載荷                              | 1.09                     | 7.68       | 10.20    |
| SBM I | 1 12×12                             | 0.69                     | 9.18       | 15.64    |
|       | 2 ( $\rho_a = 0.5$ )                | 1.09                     | 10.20      | 15.64    |

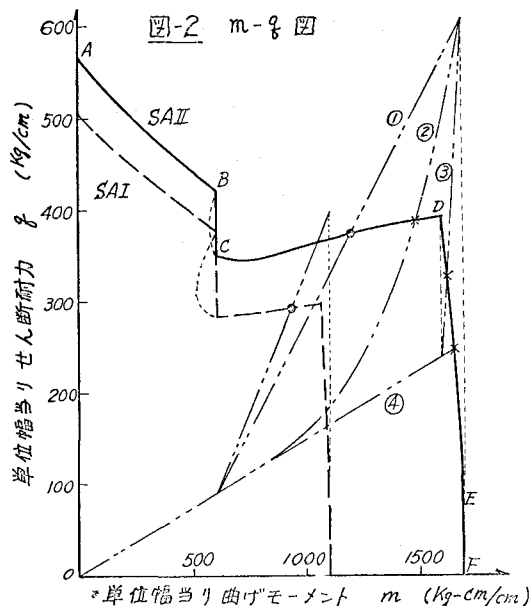


図-2 m- $\delta$  図

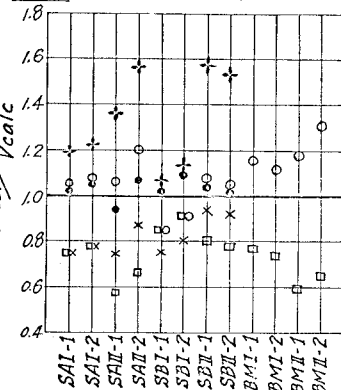


図-3 終局耐力の比較